

ИКОНИКА – НАУКА ОБ ИЗОБРАЖЕНИИ

УДК 621.397.3: 517.968

ПРИЕМ “УСЕЧЕНИЕ–РАЗМЫТИЕ–ПОВОРОТ” ДЛЯ ВОССТАНОВЛЕНИЯ ИСКАЖЕННЫХ ИЗОБРАЖЕНИЙ

© 2011 г. В. С. Сизиков, доктор техн. наук

Санкт-Петербургский государственный университет информационных технологий,
механики и оптики, Санкт-Петербург

E-mail: sizikov2000@mail.ru

Рассматривается задача восстановления искаженных (смазанных, дефокусированных, зашумленных) серых и цветных изображений. Устранение смазывания и дефокусирования изображений выполняется путем решения интегральных уравнений методом регуляризации Тихонова или параметрической фильтрации Винера, а устранение шума – методом адаптивной фильтрации Винера или медианной фильтрации. Вместо так называемых “границных условий” предлагается обобщенный прием усечения изображения, а для понижения эффекта Гиббса – обобщенный прием размытия краев изображения. Для моделирования смазывания изображения под произвольным углом предложен прием поворота изображения. Методика реализована в виде m-файлов в системе MatLab. Выполнена обработка модельных и натуральных изображений.

Ключевые слова: смазывание, дефокусирование, зашумление изображения, “границные условия”, усечение, размытие, поворот изображения.

Коды OCIS: 100.0100, 100.2000

Поступила в редакцию 02.11.2010

Введение

Данная работа является продолжением работ [1–6]. Рассматривается задача восстановления (реконструкции) искаженных (смазанных, дефокусированных, зашумленных) изображений. Решается как прямая задача (моделирование искажения), так и обратная задача (восстановление изображения) [1–15]. Основные соотношения, описывающие эти задачи, имеют вид

$$\int_{-\infty}^{\infty} h(x-\xi)w_y(\xi)d\xi = g_y(x) + \delta g, \quad (1)$$

$$\begin{aligned} \int_{-\infty}^{\infty} \int_{-\infty}^{\infty} h(x-\xi, y-\eta)w(\xi, \eta)d\xi d\eta = \\ = g(x, y) + \delta g, \end{aligned} \quad (2)$$

где h – функция рассеяния точки (ФРТ, PSF, аппаратная функция), обычно пространственно-инвариантная, или разностная, w и g – распределение интенсивности по неискаженному и искаженному изображениям соответственно,

δg – помеха (шум). В (1) ось x направлена вдоль смазы, а y играет роль параметра.

Набор одномерных интегральных уравнений (ИУ) (1) обычно используется в задаче смазывания, а двумерное ИУ (2) – в задаче дефокусирования, но часто [9, 11] ИУ (2) используется для решения обеих задач или смешанных задач [12, 16, 17], когда ФРТ имеет произвольную форму.

При решении прямой и обратной задач часто используются [9, 10, 16–20] так называемые “границные условия” (ГУ) для аппроксимации неизвестных (но нужных) значений w вне границ g поля зрения (FOV – field of view [16, 18]), когда функция w не является финитной, т. е. носитель изображения w шире FOV. Однако более точным следует считать термин “внеграницные условия”.

Непрерывным уравнениям (1), (2) соответствует дискретное соотношение

$$Aw = g + \delta g, \quad (3)$$

где A – сложная матрица [18], связанная с ФРТ и с типом ГУ.

В работах [1, 5] предложен прием усечения изображения g , позволяющий избежать использования ГУ. Предложен также прием размытия краев изображения g , чтобы понизить эффект Гиббса (эффект ложных волн) на восстановляемом изображении w . Однако в работах [1, 5] прием усечения–размытия развит применительно лишь к слизыванию изображения, причем под нулевым углом (горизонтальное слизывание) и для серого изображения. В данной работе этот прием распространяется на слизывание под произвольным углом и на дефокусирование, как для серого, так и цветного (RGB) изображения. Будем называть такой прием обобщенным приемом усечения–размытия.

Обработка изображения, слизанного под произвольным углом

Прямая задача. Сначала рассмотрим случай, когда угол слизывания θ равен нулю (горизонтальное слизывание). При этом нижеследующие соотношения будем излагать, в основном, применительно к системе MatLab. В работах [1, 5] предложен прием усечения слизанного изображения, согласно которому

$$\hat{g}_j(i) = \frac{1}{\Delta+1} \sum_{k=i}^{i+\Delta} w_j(k), \quad (4)$$

$$i = 1, 2, \dots, n - \Delta, \quad j = 1, 2, \dots, m,$$

где i (и k) – номер столбца, j – номер строки изображения, $m \times n$ – размер матрицы исходного изображения w , $m \times (n - \Delta)$ – размер матрицы моделируемого слизанного изображения \hat{g} , Δ – величина слизы.

Чтобы при решении обратной задачи понизить возможные искажения типа “звона” (ложные волны, эффект Гиббса) [10, с. 185], в работе [1] предложен прием размытия краев у изображения g , согласно которому

$$g_j(i) = \frac{1}{\Delta+1} \sum_{k=i}^{i+\Delta} q_j(k), \quad (5)$$

$$i = 1, 2, \dots, n + \Delta, \quad j = 1, 2, \dots, m,$$

где

$$q_j(k) = \begin{cases} w_j(k - \Delta), & k - \Delta \in [1, n], \\ 0, & k - \Delta \notin [1, n]. \end{cases} \quad (6)$$

Однако соотношения (5)–(6) неудобны для программирования в системе MatLab. Можно запись (5)–(6) сделать более удобной, дополнив массив w слева и справа нулевыми матрицами

размера $m \times \Delta$ (в MatLab'е это можно выполнить с помощью функции padarray.m [10]). Полученный массив обозначим через u . Тогда соотношения (5)–(6) запишутся в более удобном виде

$$g_j(i) = \frac{1}{\Delta+1} \sum_{k=i}^{i+\Delta} u_j(k), \quad (7)$$

$$i = 1, 2, \dots, n + \Delta, \quad j = 1, 2, \dots, m.$$

Теперь рассмотрим случай произвольного угла слизывания θ . В системе MatLab7 в m-функции fspecial.m [10] заложен численный алгоритм слизывания под произвольным углом, в котором для вычисления разностной ФРТ $h(x, y)$ (см. (2)) учитываются пиксели, отстоящие от каждой наклоненной под углом θ прямой линии не более, чем на 1 пиксель. При этом используется билинейная интерполяция. В результате ФРТ получается в виде матрицы (вектора под углом). Далее в функции imfilter.m [10] для получения слизанного изображения $g(x, y)$ выполняется свертка истинного изображения $w(x, y)$ с ФРТ $h(x, y)$

$$g(x, y) = \iint_D h(x - \xi, y - \eta) w(\xi, \eta) d\xi d\eta, \quad x, y \in D, \quad (8)$$

где D – область изображения w .

Особенности алгоритма, заложенного в функциях fspecial.m и imfilter.m: задача слизывания, как и задача дефокусирования, решается как 2-мерная задача; используются “граничные условия”. Однако, как и в работах [1, 5, 6], предлагается рассматривать задачу слизывания как набор 1-мерных задач (см. (1)), а вместо ГУ использовать обобщенные приемы усечения и размытия краев. При этом вместо учета пикселов, близких к наклонной прямой линии, заложенного в функции fspecial.m, предлагаем использовать прием поворота изображения, который можно выполнить с помощью функции imrotate.m [10].

Изложим суть приема поворота с размытием на примере рис. 1. Исходное изображение w (textp.bmp, рис. 1a) поворачивается на некоторый угол θ с помощью функции imrotate.m. При этом функция imrotate.m заполняет нулями область вне повернутого изображения (рис. 1б). Повернутый массив дополняем слева и справа нулями по Δ пикселов с помощью функции padarray.m, чтобы получить массив u . В заключение рассчитываем значения g с размытием по формуле (7) (рис. 1б) или с усечением по формуле (4).

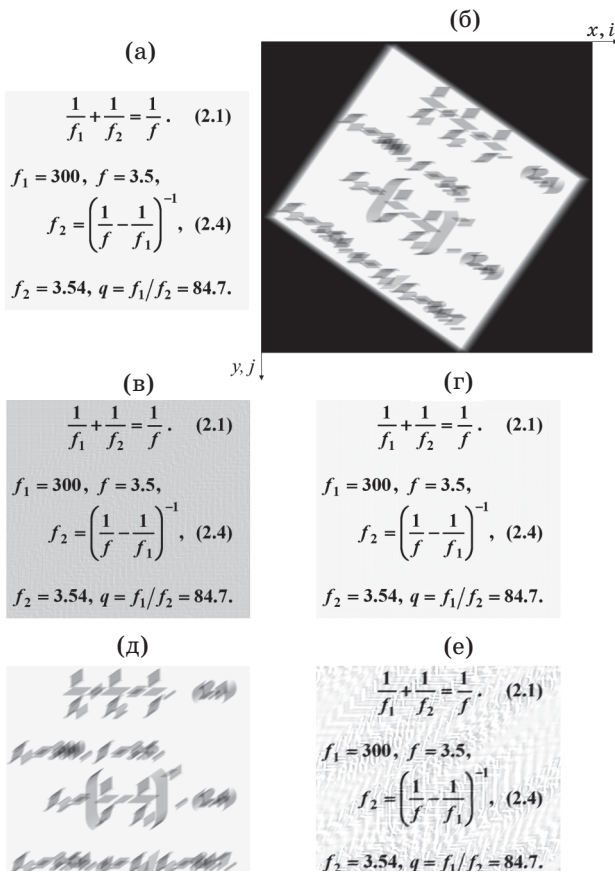


Рис. 1. Прямая и обратная задачи обработки смазанного под углом серого текстового изображения textp.bmp ($\Delta = 40$ пикселов, $\theta = 35^\circ$, без шума). а – исходное изображение w 618×690 , б – повернутое и смазанное изображение с размытием краев g 902×960 , в – реконструированное изображение w_α , вариант 2, г – реконструированное изображение w_α , вариант 4, д – изображение, смазанное с помощью функций fspecial.m и imfilter.m, е – реконструированное изображение w_K .

Обратная задача. Повернутое изображение (g на рис. 1б) реконструируется в каждой j -й строке путем решения ИУ (1). Как и в работах [1–6], это решение будем выполнять методом ПФ с регуляризацией Тихонова (варианты 1 и 2 [1]) и методом квадратур с регуляризацией Тихонова (варианты 3–5 [1]). После получения решения w_α выполняем обратный поворот изображения и удаляем черную рамку вокруг него (возникающую от функций imrotate.m и padarray.m).

Параметр регуляризации α в методе регуляризации Тихонова выбираем двумя способами: путем визуальной оценки реконструированного изображения w_α и/или путем минимизации относительного среднеквадратического отклоне-

ния (СКО) изображения w_α от исходного точного изображения \bar{w} [1]

$$\sigma_{\text{rel}} = \frac{\|w_\alpha - \bar{w}\|_{L_2}}{\|\bar{w}\|_{L_2}} = \frac{\sqrt{\sum_{j=1}^m \sum_{i=1}^n [(w_\alpha)_{ji} - \bar{w}_{ji}]^2}}{\sqrt{\sum_{j=1}^m \sum_{i=1}^n \bar{w}_{ji}^2}} \quad (9)$$

(σ_{rel} можно вычислить лишь для модельного изображения, когда \bar{w} известно). Обозначим α , соответствующее минимуму σ_{rel} , через α_{opt} .

На рис. 1в приведено изображение w_α , реконструированное методом ПФ и регуляризации Тихонова, вариант 2, $\alpha = \alpha_{\text{opt}} = 10^{-6}$, $p = 1$ (порядок регуляризации), $\sigma_{\text{rel}} = 0,1046$, а на рис. 1г – изображение, реконструированное методом квадратур и регуляризации Тихонова, вариант 4, $\alpha = \alpha_{\text{opt}} = 10^{-6}$, $\sigma_{\text{rel}} = 0,0323$.

Для сравнения на рис. 1д приведено изображение, смазанное с помощью функций fspecial.m и imfilter.m с опцией (“границным условием”) ‘circular’ (periodic), и на рис. 1е – изображение w_K , реконструированное методом параметрической фильтрации Винера с помощью функции deconvwnr.m [9, 10] с константой (параметром) $K = 10^{-5}$, выбранной, как и α , из условия минимума σ_{rel} (в (9) вместо w_α нужно положить w_K), $\sigma_{\text{rel}} = 0,0789$.

Видим, как и в работе [1], что вариант 4 (метод квадратур с регуляризацией Тихонова и с размытием краев изображения) дает наиболее точное восстановление изображения (без шума).

Зашумление смазанного изображения. Если помимо смазывания изображение зашумлено, то задачу восстановления можно решать двумя путями: использовать метод регуляризации Тихонова (или метод параметрической фильтрации Винера), полагая, что этот метод не только устранит смазывание, но и отфильтрует шум; предварительно отфильтровать шум некоторым специальным методом (адаптивным фильтром Винера или медианным фильтром [21]), а затем применить метод регуляризации Тихонова (или другой метод).

Такого рода численный эксперимент был выполнен применительно к смазанному текстовому изображению, представленному на рис. 1б. Был добавлен гауссовый 1%-ный шум. Согласно 1-му пути, были получены следующие результаты: (в) $\alpha_{\text{opt}} = 10^{-2}$, $p = 1$, $\sigma_{\text{rel}} = 0,1858$; (г) $\alpha_{\text{opt}} = 2 \times 10^{-3}$, $\sigma_{\text{rel}} = 0,0942$; (е) $K_{\text{opt}} = 10^{-4}$, $\sigma_{\text{rel}} = 0,0879$. Согласно 2-му пути (с предвари-

тельной фильтрацией шума адаптивным фильтром Винера с помощью m-функции `wiener2.m` [10, 21]), (в) окно 5×5 , $\alpha_{\text{opt}} = 0,7 \times 10^{-2}$, $p = 1$, $\sigma_{\text{rel}} = 0,1741$; (г) окно 3×3 , $\alpha_{\text{opt}} = 0,8 \times 10^{-3}$, $\sigma_{\text{rel}} = 0,0831$; (е) окно 3×3 , $K_{\text{opt}} = 0,8 \times 10^{-4}$, $\sigma_{\text{rel}} = 0,0900$. Видим, что предварительная фильтрация шума адаптивным фильтром Винера несколько снизила погрешность σ_{rel} последующей реконструкции смазанного изображения методом регуляризации Тихонова, но практически не повлияла на погрешность реконструкции методом параметрической фильтрации Винера.

Было рассмотрено также зашумление изображения импульсным шумом (типа “соль и перец”) и предварительная фильтрация его медианной фильтрацией (функция `medfilt2.m`) [21]. В этом случае роль предварительной фильтрации оказалась значительней. Это говорит о том, что методы регуляризации Тихонова и параметрической фильтрации Винера сами фильтруют в определенной степени гауссовый шум, но довольно слабо фильтруют импульсный шум (его лучше фильтрует медианная, а также ранговая фильтрация). Эти выводы подтвердились обработкой портретного изображения `cameraman.tif`.

Обработка цветных изображений. Обработка цветных изображений в системе MatLab обычно осуществляется способом покомпонентной обработки (RGB-изображение разбивается на R, G и B компоненты, а после обработки снова соединяется в RGB-изображение) [2–4, 9, 10, 15] или способом векторной обработки (изображение обрабатывается как трехмерная матрица) [9, 10]. Второй способ особенно удобен при программировании в системе MatLab.

Разработаны m-функции `smearing.m`, `desmearingf.m`, `desmearingq.m` и `rmsd.m` для моделирования смазывания изображения с усечением, размытием и поворотом, для реконструкции смазанного изображения методом ПФ и квадратур с регуляризацией Тихонова и для вычисления σ_{rel} применительно как к серому, так и цветному (RGB) изображению, причем для обработки RGB-изображения использован способ векторной обработки. Разработана также m-функция `normnoise.m` для зашумления как серых, так и цветных изображений гауссовым (нормальным) шумом в противовес имеющейся в пакете IPT MatLab m-функции `imnoise.m`, создающей некоторые неудобства при обращении к ней [10, с. 156]. Выполнена обработка с помощью ме-

тодики “усечение–размытие–поворот” RGB-изображений `pears.png` и `football.jpg`, которая подтвердила выводы, сделанные выше по отношению к gray-изображениям `textp.bmp` и `cameraman.tif`.

Было также выполнено восстановление реальных смазанных изображений, а именно, сфотографированного со сдвигом фотоаппарата серого текста (типа `textp.bmp` на рис. 1а) и цветного изображения `pair.jpg` двух движущихся персон, показавшее, что качество полученных восстановленных изображений выше, чем исходных смазанных изображений.

Обработка дефокусированного изображения

Прямая и обратная задачи дефокусирования изображения в случае пространственно-инвариантной (разностной) ФРТ $h(x, y)$ описываются соотношением (2). В нем $h(x, y)$ в простейшем случае, когда ФРТ есть однородный круг постоянного радиуса ρ , записывается в виде [2, 3, 6–8, 11, 15]

$$h(x, y) = \begin{cases} 1/\pi\rho^2, & \sqrt{x^2 + y^2} \leq \rho, \\ 0, & \sqrt{x^2 + y^2} > \rho. \end{cases} \quad (10)$$

В более реальном случае ФРТ имеет вид гауссианы [11, 13]

$$h(x, y) = \frac{1}{2\pi\sigma^2} e^{-(x^2 + y^2)/2\sigma^2}. \quad (11)$$

Однако ФРТ может иметь еще более общий вид [12, 16–18].

Прямая задача. Рассмотрим прямую задачу (моделирование дефокусирования изображения) в дискретном виде. Пусть нам дана матрица исходного неискаженного изображения $w_{m \times n}$ и необходимо смоделировать матрицу дефокусированного изображения g . Пусть при этом ФРТ h – любого вида, но пространственно-инвариантная и заключенная в пределах квадратного окна $2r \times 2r$, а вне окна равная нулю, т. е. h описывается матрицей $(2r + 1) \times (2r + 1)$. Если формировать дефокусированное изображение g такого же размера, как и исходное изображение w , то соотношение (3) более подробно запишется в виде (при замене интеграла в (8) конечной суммой по пикселям)

$$g(j, i) = \frac{1}{Q} \sum_{j'=j-r}^{j+r} \sum_{i'=i-r}^{i+r} h(i - i', j - j') w(j', i'), \quad (12)$$

$$j = 1, 2, \dots, m, \quad i = 1, 2, \dots, n.$$

В выражении (12) для удобства введен нормирующий делитель

$$Q = \sum_{i=-r}^r \sum_{j=-r}^r h(i, j), \quad (13)$$

что позволяет упростить записи формул (10), (11)

$$h(i, j) = \begin{cases} 1, & \sqrt{i^2 + j^2} \leq r, \\ 0, & \sqrt{i^2 + j^2} > r. \end{cases} \quad (10')$$

$$h(i, j) = e^{-(i^2 + j^2)/2\sigma^2}. \quad (11')$$

Заметим, что в выражении (12) использовано “координатное соглашение” [10, с. 29, рис. 2.1(б)], согласно которому у матриц g и w первый индекс – это номер строки, а второй – номер столбца, причем начальные индексы равны единице. Это правило не касается h , поскольку h – это функция.

Проанализируем выражение (12). Видим, что при $i = n - r + 1, \dots, n$ (вблизи правой границы изображений w и g) требуется знание значений $w(j, n - 2r + 1), \dots, w(j, n + r)$, однако значения $w(j, n + 1), \dots, w(j, n + r)$ (за правой границей w) неизвестны. Аналогично требуются, но неизвестны, значения w левее, выше и ниже границы изображения w на величину r пикселов. Чтобы преодолеть дефицит информации, в работах [9, 10, 17–20], как уже было отмечено, предложены и используются так называемые “граничные условия”: от простейшего *zero* до *anti-reflective*, в которых делаются различные предположения относительно недостающих значений w . Заметим, что такой эффект “недостачи” имеет место только при обработке модельных изображений, а при получении реальных искаженных изображений сама природа поставляет необходимые значения w в искаженное изображение g .

Усечение дефокусированного изображения. Предлагаем иначе решить вопрос, связанный с недостатком значений w , а именно, вместо соотношения (12) использовать соотношение (4)

$$\hat{g}(j, i) = \frac{1}{Q} \sum_{j'=j-r}^{j+r} \sum_{i'=i-r}^{i+r} h(i - i', j - j') w(j', i'), \quad (14)$$

$$j = 1 + r, 2 + r, \dots, m - r,$$

$$i = 1 + r, 2 + r, \dots, n - r.$$

Отличие соотношения (14) от (12) состоит в том, что согласно (14) моделируется изображение \hat{g} меньшего размера, чем w . При этом все необходимые значения w известны и не нужно прибегать к такому приему, как “граничные условия”. Правда, изображение \hat{g} получается несколько меньше, чем w (на r пикселов сверху, снизу, слева и справа). Но, во-первых, эффект уменьшения практически невелик (обычно $m \approx n \approx 300 \div 1000$, а $r \sim 10$), а, во-вторых, при решении обратной задачи, например, методом регуляризации Тихонова в качестве искомого решения w_α используется нормальное псевдorешение [3, 8], которое существует и является единственным, несмотря на то, что задача отыскания w_α является недоопределенной (область изображения \hat{g} уже области изображения w).

Заметим, что выражение (14) не вполне удобно для программирования в системе MatLab, поскольку в ней начальные индексы у массивов должны равняться единице. Более удобным является выражение

$$\hat{g}(j, i) = \frac{1}{Q} \sum_{j'=j}^{j+2r} \sum_{i'=i}^{i+2r} h(i - i' + r, j - j' + r) w(j', i'), \quad (15)$$

$$j = 1, 2, \dots, m - 2r,$$

$$i = 1, 2, \dots, n - 2r.$$

Однако и выражение (15) недостаточно удобно для программирования в системе MatLab, поскольку в нем фигурируют два массива (матрицы) \hat{g} и w и функция h , а MatLab наиболее эффективен, когда оперирует лишь с матрицами. Поэтому введем матрицу M , связанную с функцией h следующим образом:

$$M(j, i) = h(i - r - 1, j - r - 1), \quad (16)$$

$$j = 1, 2, \dots, 2r + 1, \quad i = 1, 2, \dots, 2r + 1.$$

Тогда выражение (15) запишется в виде [6]

$$\hat{g}(j, i) = \frac{1}{Q} \sum_{j'=j}^{j+2r} \sum_{i'=i}^{i+2r} M(j - j' + 2r + 1, i - i' + 2r + 1) w(j', i'), \quad (17)$$

$$j = 1, 2, \dots, m - 2r, \quad i = 1, 2, \dots, n - 2r.$$

Назовем моделирование дефокусированного изображения \hat{g} на основе соотношений (14)–(17) приемом усечения дефокусированного изображения.

Размытие краев дефокусированного изображения. Для снижения эффекта ложных волн (эффекта Гиббса) на восстанавливаемом изображении, обусловленного резким падением до

нуля интенсивностей на краях изображения \hat{g} , введем размытие краев у дефокусированного изображения (ср. (7) и (17)) [6]

$$g(j, i) = \frac{1}{Q} \sum_{j'=j}^{j+2r} \sum_{i'=i}^{i+2r} M(j-j'+2r+1, i-i'+2r+1) u(j', i'), \quad (18)$$

$$j = 1, 2, \dots, m+2r, \quad i = 1, 2, \dots, n+2r,$$

где u – матрица $(m+4r) \times (n+4r)$, введенная для удобства расчетов путем добавления к матрице w по $2r$ нулей слева, справа, сверху и снизу (это можно сделать с помощью m-функции padarray.m).

Для моделирования дефокусированных сего или цветного изображений с усечением согласно (17) или с размытием краев согласно (18) разработана в рамках системы MatLab m-функция defocusing.m.

Обратная задача. Под обратной задачей подразумевается задача восстановления изображения w по дефокусированному изображению g и известной (некоторым образом) функции расеяния точки h .

Если ФРТ пространственно-инвариантная (разностная): $h = h(x - \xi, y - \eta)$, то задача восстановления сводится к решению 2-мерного ИУ Фредгольма I рода типа свертки (2) (некорректная задача). Методы решения уравнения (2) – это методы инверсной фильтрации, псевдоинверсной фильтрации, оптимальной и параметрической фильтрации Винера, регуляризации Тихонова, алгоритмы Люси-Ричардсона, “слепой” деконволюции и др. [1–3, 7–18]. Эти методы используют в той или иной мере 2-мерное ПФ.

В методе параметрической фильтрации Винера [9, с. 392], [10, с. 184] решение уравнения (2) равно

$$w_K(\xi, \eta) = \frac{1}{4\pi^2} \int_{-\infty}^{\infty} \int_{-\infty}^{\infty} W_K(\omega_1, \omega_2) e^{-i(\omega_1 \xi + \omega_2 \eta)} d\omega_1 d\omega_2, \quad (19)$$

где

$$W_K(\omega_1, \omega_2) = \frac{H^*(\omega_1, \omega_2) G(\omega_1, \omega_2)}{|H(\omega_1, \omega_2)|^2 + K}, \quad (20)$$

$$H(\omega_1, \omega_2) = \int_{-\infty}^{\infty} \int_{-\infty}^{\infty} h(x, y) e^{i(\omega_1 x + \omega_2 y)} dx dy, \quad (21)$$

$$G(\omega_1, \omega_2) = \int_{-\infty}^{\infty} \int_{-\infty}^{\infty} g(x, y) e^{i(\omega_1 x + \omega_2 y)} dx dy, \quad (22)$$

$K \geq 0$ – некоторая константа (параметр, дающий приближение отношения энергетиче-

ских спектров шума и неискаженного изображения).

В методе регуляризации Тихонова [3, 4, 7–9, 11, 14, 15] решение равно

$$w_\alpha(\xi, \eta) = \frac{1}{4\pi^2} \int_{-\infty}^{\infty} \int_{-\infty}^{\infty} W_\alpha(\omega_1, \omega_2) e^{-i(\omega_1 \xi + \omega_2 \eta)} d\omega_1 d\omega_2, \quad (23)$$

где

$$W_\alpha(\omega_1, \omega_2) = \frac{H^*(\omega_1, \omega_2) G(\omega_1, \omega_2)}{|H(\omega_1, \omega_2)|^2 + \alpha(\omega_1^2 + \omega_2^2)^p}, \quad (24)$$

$\alpha > 0$ – параметр регуляризации, $p \geq 0$ – порядок регуляризации.

Метод параметрической фильтрации Винера реализован в системе MatLab7 в виде m-функции deconvwnr.m [9, с. 397], [10, с. 188]. Авторами статьи разработана собственная m-функция refocusing.m, в которой реализован метод регуляризации Тихонова (выражения (21)–(24) в дискретном виде) применительно к дефокусированному (серому или цветному) изображению g с усечением или с размытием.

Численные примеры. Было промоделировано дефокусирование (с помощью m-функции defocusing.m) текстового серого изображения textp.bmp, представленного на рис. 1а. Использовалась ФРТ в виде однородного диска радиуса $r = 10$ (см. (10')). На рис. 2а представлено дефокусированное изображение 598×670 с усечением согласно (17), а на рис. 2б – дефокусированное изображение 638×710 с размытием краев согласно (18). На рис. 2в представлена реконструкция изображения 2а методом 2-мерного ПФ с регуляризацией Тихонова ($\alpha = 10^{-2}$, $p = 2$, $\sigma_{\text{rel}} = 0,4915$), а на рис. 2г – реконструкция изображения 2б тем же методом ($\alpha = 10^{-7}$, $p = 2$, $\sigma_{\text{rel}} = 0,0132$). Для сравнения на рис. 2д приведено изображение, дефокусированное с помощью m-функций fspecial('disk') и imfilter(...'symmetric'), а на рис. 2е – реконструкция изображения 2д пара-

метрической фильтрацией Винера ($K = 10^{-5}$, $\sigma_{\text{rel}} = 0,0906$).

Рис. 2в показывает, что реконструкция с усечением выполнена с большой погрешностью (с темным фоном и ложными волнами), а реконструкция с размытием краев (рис. 2г) – практически без погрешностей. Что касается параметрической фильтрации Винера, то она реконструировала изображение (рис. 2е) с ложными волнами и с погрешностью σ , заметно большей, чем у изображения 2г. Это говорит о том, что использование приема “размытие краев изображения” может заметно повысить точность реконструкции. Кроме того, эти результаты указывают на то, что регуляризация Тихонова в принципе точнее параметрической фильтрации Винера (ср. (20) и (24)).

Было также обработано (дефокусировано и затем рефокусировано) цветное изображение flower.bmp и сделанные выводы подтвердились.

Была выполнена обработка серого изображения textp.bmp и RGB-изображения flower.bmp при добавлении к дефокусированию гауссова, а также импульсного шума. Результаты такой обработки аналогичны обработке смазанного зашумленного изображения: при 1%-ном и большем шуме методы регуляризации Тихонова (с размытием) и параметрической фильтрации Винера дают примерно одинаковую погрешность σ ; дополнительная фильтрация шума аддитивным (оконным) фильтром Винера, если шум гауссов, дает небольшое понижение погрешности σ и заметное ее понижение при использовании медианной фильтрации, если шум импульсный. Это подтверждает вывод о том, что методы регуляризации Тихонова (с размытием) и параметрической фильтрации Винера, устранивая дефокусирование, “попутно” в определенной степени сами фильтруют гауссовый шум, но довольно слабо фильтруют импульсный шум (в этом случае целесообразно добавить медианную фильтрацию).

О сравнительных возможностях пакета PhotoShop. Для обработки изображений часто используется пакет Adobe PhotoShop, а также Paint Shop Pro, PhotoImpact и др. [22]. Дадим краткое сравнение возможностей этих пакетов и пакета IPT MatLab, в том числе, методики, изложенной в данной работе. Пакеты PhotoShop и др. позволяют хорошо и удобно менять яркость, контраст, оттенки, выполнять кадрирование, ретушь, формировать рамку, устранять царапины, а также (по тематике данной работы) моделировать размытие в движении,

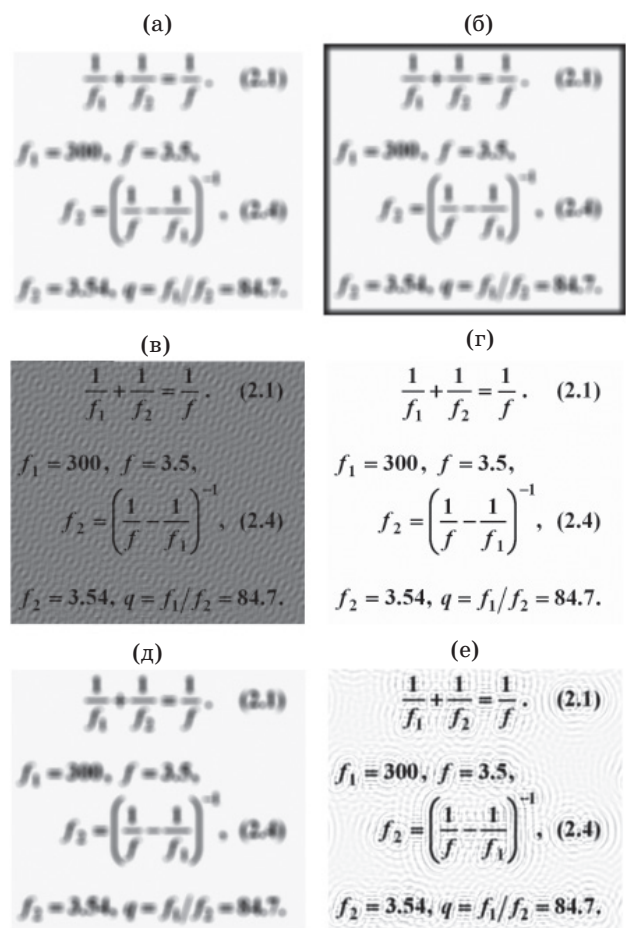


Рис. 2. Прямая и обратная задачи обработки дефокусированного серого текстового изображения textp.bmp ($r = 10$ пикселов, без шума). а – дефокусированное изображение с усечением g_1 598×670 согласно (17). б – дефокусированное изображение с размытием краев g_2 638×710 согласно (18). в – реконструкция усеченного изображения g_1 методом 2-мерного ПФ и регуляризации Тихонова. г – реконструкция изображения g_2 с размытием краев методом 2-мерного ПФ и регуляризации Тихонова. д – дефокусированное изображение defoc 618×690 с использованием функций fspecial.m и imfilter.m. е – реконструкция изображения defoc методом параметрической фильтрации Винера.

размытие по Гауссу и добавлять шум. Однако формирование размытия и добавление шума – это прямые задачи. Что же касается обратных (наиболее сложных) задач, то пакеты PhotoShop и др. позволяют фильтровать шум (медианным фильтром), но не устраняют размытие (смазывание по терминологии данной работы) и довольно слабо устраняют дефокусирование (фильтром “Контурная резкость”, повышающим контраст смежных пикселов, т. е. усиливающим резкость границ на изображении).

Это можно объяснить тем, что в пакете IPT MatLab и в методике данной работы для решения обратных задач привлечен мощный математический аппарат (решение некорректных 1-мерных и 2-мерных интегральных уравнений Фредгольма I рода методами регуляризации Тихонова, фильтрации Винера и др.), а в пакете PhotoShop и др. использованы лишь такие довольно простые математические методы, как медианная фильтрация. Кстати, если искажение не есть смазывание или дефокусирование в чистом виде, т.е. ФРТ имеет произвольную форму [16, 17], то MatLab позволяет решить и такую обратную задачу, в противоположность пакету PhotoShop и др.

О быстром алгоритме реконструкции сма-занных изображений. Важным является вопрос о реализуемости предложенной в работе методики в реальном масштабе времени. Рассмотрим кратко его на примере быстродвижущейся под углом $\theta = 0$ цели (например, самолета).

Реконструкцию изображения методом квадратур с регуляризацией Тихонова (вариант 4) [1] можно записать в виде $w_\alpha = B_\alpha g$, где

$$B_\alpha = (\alpha E + A^T A)^{-1} A^T$$

— матрица $n \times (n + \Delta)$, которая может быть рассчитана заранее, и реконструкция изображения сводится к умножению “заготовленной” матрицы B_α на каждый из t векторов-строк смаzanного изображения g .

Оценим количество операций и требуемое время. Умножение матрицы B_α размера $n \times (n + \Delta)$ на вектор g длиной $n + \Delta$ запишем в виде

$$(w_\alpha)_i = \sum_{k=1}^{n+\Delta} (B_\alpha)_{ik} g_k, \quad i=1, 2, \dots, n.$$

На это потребуется $n(n + \Delta)$ умножений (и сложений). А на выполнение таких операций для всех t строк изображения потребуется $tn(n + \Delta)$ умножений. Например, при $t = n = 400$ и $\Delta \ll n$ потребуется ≈ 64 млн умножений. Если скорость компьютера ~ 1 млрд оп/с, то реконструкция изображения займет $\sim 0,1$ с.

Замечание. Матрица B_α не зависит от номера строки j (при $\theta = 0$), но зависит от величины смазы Δ и параметра регуляризации α , а также от значений t и n . Размер $t \times n$ обычно фиксирован, а величины Δ и α заранее неизвестны. Поэтому следует заранее заготовить несколько матриц B_α для ряда типичных значений Δ и α .

Если речь идет, например, о самолете — нарушителе границы, то служба первичного обнаружения цели должна оценить скорость, направление движения и высоту самолета и по этим данным служба обработки изображения оценит Δ (при известной экспозиции) и вызовет матрицу B_α с некоторым типичным значением α (или две-три таких матрицы). И тогда за долю секунды, т. е. в реальном масштабе времени будет выполнена реконструкция изображения самолета. Такая обработка была выполнена (файл изображения plane.bmp) и она подтвердила вышеизложенное.

Более подробно затронутые в данной работе вопросы будут изложены в книге: Сизиков В.С. “Обратные прикладные задачи и MatLab”, подготовленной к печати в изд-ве “Лань”.

Работа выполнена при поддержке РФФИ (грант 09-08-00034а).

ЛИТЕРАТУРА

1. Сизиков В.С., Римских М.В., Мирджамолов Р.К. Реконструкция смаzanных и зашумленных изображений без использования граничных условий // Оптический журнал. 2009. Т. 76. № 5. С. 38–46.
2. Сизиков В.С., Белов И.А. Реконструкция смаzanных и дефокусированных изображений методом регуляризации // Оптический журнал. 2000. Т. 67. № 4. С. 60–63.
3. Сизиков В.С. Математические методы обработки результатов измерений. СПб.: Политехника, 2001. 240 с.
4. Petrov Yu.P., Sizikov V.S. Well-Posed, Ill-posed, and Intermediate Problems with Applications. Leiden–Boston: VSP, 2005. 234 р.
5. Сизиков В.С. Применение аппарата интегральных уравнений для реконструкции искаженных изображений // Сб. тез. конф. “Интегральные уравнения – 2009”. Киев: Изд-во ИПМЭ, 2009. С. 128–130.
6. Сизиков В.С. Интегральные уравнения и новый прием “усечение–размытие–поворот” в реконструкции искаженных изображений // Proc. Intern. Conf. “Integral Equations – 2010”. Lviv: PAIS, 2010. Р. 138–142.
7. Тихонов А.Н., Гончарский А.В., Степанов В.В. Обратные задачи обработки фотоизображений // Некоторые задачи естествознания / Под ред. Тихонова А.Н., Гончарского А.В. М.: Изд-во МГУ, 1987. С. 185–195.
8. Бакушинский А.Б., Гончарский А.В. Некорректные задачи. Численные методы и приложения. М.: Изд-во МГУ, 1989. 199 с.
9. Гонсалес Р., Будс Р. Цифровая обработка изображений. М.: Техносфера, 2006. 1072 с.

10. Гонсалес Р., Будс Р., Эддинс С. Цифровая обработка изображений в среде MATLAB. М.: Техносфера, 2006. 616 с.
 11. Арефьева М.В., Сысоев А.Ф. Быстрые регуляризирующие алгоритмы цифрового восстановления изображений // Вычислите. методы и программирование. 1983. В. 39. С. 40–55.
 12. Горшков А.В. Улучшение разрешения изображений при обработке данных физического эксперимента и нахождение неизвестной аппаратной функции по программам пакета Reimage // Приборы и техника эксперимента. 1995. № 2. С. 68–78.
 13. Грузман И.С., Киричук В.С., Косых В.П., Перетягин Г.И., Спектор А.А. Цифровая обработка изображений в информационных системах. Новосибирск: Изд-во НГТУ, 2000. 168 с.
 14. Воскобойников Ю.Е., Литасов В.А. Устойчивый алгоритм восстановления изображения при неточно заданной аппаратной функции // Автометрия. 2006. Т. 42. № 6. С. 3–15.
 15. Ягода А.Г., Кошев Н.А. Восстановление смазанных и дефокусированных цветных изображений // Вычислите. методы и программирование. 2008. Т. 9. С. 207–212.
 16. Donatelli M., Estatico C., Martinelli A., Serra-Capizzano S. Improved image deblurring with anti-reflective boundary conditions and re-blurring // Inverse problems. 2006. V. 22. P. 2035–2053.
 17. Wendykier P., Nagy J.G. Image Processing on Modern CPUs and GPUs. Technical Report TR-2008-023, <http://www.mathcs.emory.edu/technical-reports/techrep-00148.pdf>
 18. Palmer K., Nagy J., Perrone L. Iterative methods for image restoration: Matlab object oriented approach, 2002, <http://citeseer.ist.psu.edu/lee02iterative.html>
 19. Christiansen M., Hanke M. Deblurring methods using antireflective boundary conditions, 2006, <http://citeseerx.ist.psu.edu/viewdoc/download?doi=10.1.1.70.9837&rep=rep1&tipe=pdf>
 20. Arico A., Donatelli M., Nagy J., Serra-Capizzano S. The Anti-Reflective Transform and Regularization by Filtering. Technical report TR-2007-006-A, <ftp://ftp.mathcs.emory.edu/pub/techreport/TR-2007-006-A.pdf>
 21. Дьяконов В., Абраменкова И. MATLAB. Обработка сигналов и изображений. СПб.: Питер, 2002. 608 с.
 22. Эндрюс Ф. Цифровая фотография. М.: ЗАО “Росмэн-Издат”, 2005. 192 с.
-